

二阶数字锁相环的研究及参数自校正

赵希人

(哈尔滨船舶工程学院)

摘要

本文研究了电子工程中所采用的二阶数字锁相环的物理结构,对其性能进行了分析,并把参数自校正方法用于数字锁相环,给出了实验及仿真结果。

一、物理过程

无线电电子工程中的数字锁相环的物理结构如图1所示^[1-4]。接收信号 $S_0(t)$ 为 $S_0(t) = S_1(t) + \xi(t)$, 其中 $S_1(t) = A \sin \omega_0 t$ 为有用信号, $\xi(t)$ 为噪声, u_T^* 为采样基准,是等间隔的脉冲列。当 $\xi(t) = 0$ 时,采样基准对接收信号 $S_0(t)$ 进行取样形成 $S_2(t)$,可由图1(b)表示,当 $\xi(t) \neq 0$,且 $t = nT$ 时,采样器输出信号 $S_2(nT)$ 为

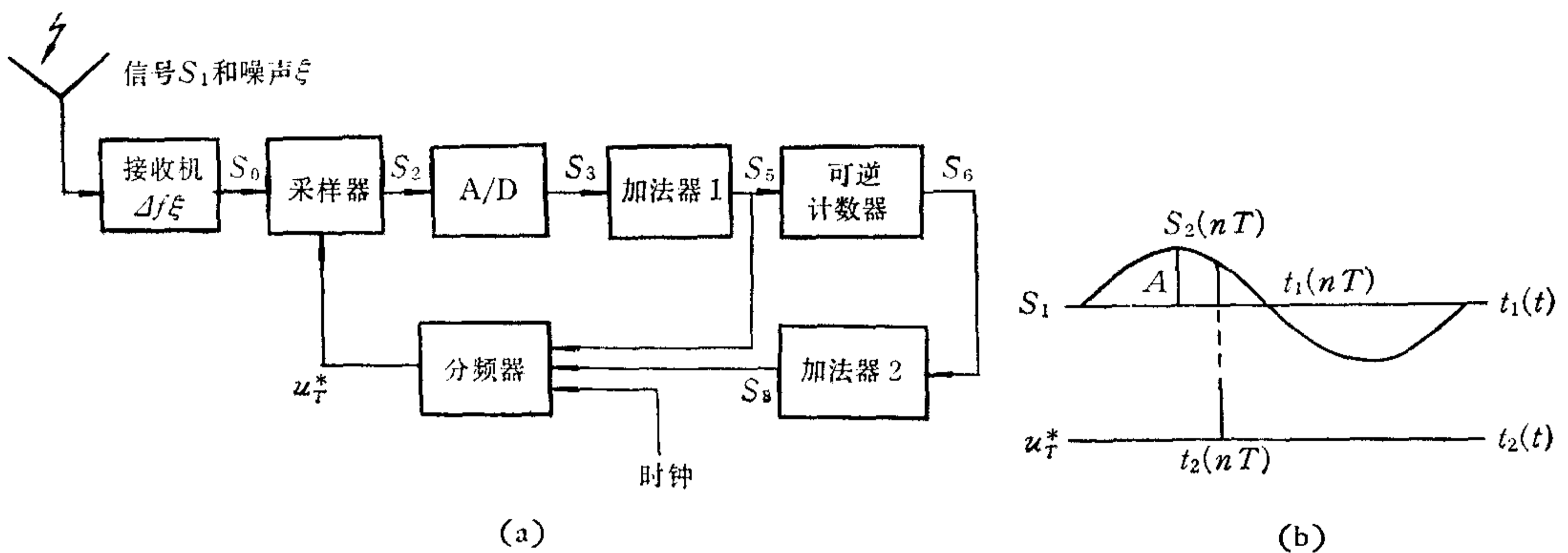


图1 二阶数字锁相环的物理结构图

$$S_2(nT) = A \sin \omega_0 [t_1(nT) - t_2(nT)] + \xi(nT), \quad n = 1, 2, \dots, \quad (1)$$

其中 T 为采样周期。A/D 变换器输出 $S_3(nT)$ 为

$$S_3(nT) = \frac{1}{b} S_2(nT), \quad n = 1, 2, \dots, \quad (2)$$

其中 b 为量化单位(数/伏)。加法器1的工作过程是:给加法器1每输入 P ($P \gg 1$) 个单位数,就输出一个单位数,同时把加法器1清零。计数器是不溢出的叠加器,其输出 $S_6(nT)$ 为

$$S_6(nT) = S_6[(n-1)T] + S_5(nT), \quad n = 1, 2, \dots. \quad (3)$$

加法器 2 同加法器 1 本质上一致。只是每输入 $q (q \gg 1)$ 个数才输出一个单位数，同时把加法器 2 清零。采样基准 u_T^* 的出现时刻 $t_2(nT)$ 由分频器产生。

$$t_2(nT) = t_2[(n-1)T] + aS_5(nT) + aS_8(nT), \quad n = 1, 2, \dots, \quad (4)$$

其中 a 为基准跳动步距 ($\mu s/\text{单位数}$)。

二、数学抽象及分析方法

首先定义连续函数 $f(t)$ 经采样的表达式为

$$f_T(t) = Tf(t)u_T(t), \quad (5)$$

其中 $u_T(t) \triangleq \sum_{i=-\infty}^{+\infty} \delta(t - iT)$ 为开关函数。于是由 (1) 式及 (5) 式有

$$\begin{aligned} S_{2T}(t) &= T\{A \sin \omega_0[t_1(t) - t_2(t)] + \xi(t)\}u_T(t) \\ &= TA\Delta^*(t)u_T(t) + T\xi(t)u_T(t), \end{aligned} \quad (6)$$

其中 $\Delta^*(t) \triangleq t_1^*(t) - t_2^*(t)$ (弧), $t_1^*(t) = \omega_0 t_1(t)$, $t_2^*(t) = \omega_0 t_2(t)$ 。上式最后一步是由于通常有 $\Delta^*(t) \ll 1$ 而得到的。由 (2) 式可知 $S_{3T}(t) = (1/b)S_{2T}(t)$ 。由加法器 1 的工作原理有 $S_{5T}(t) = (1/P)S_{3T}(t)$ 。由 (3) 式及 (5) 式可把计数器工作过程表示为

$$S_6(t) = \frac{1}{T} \int_0^t S_{5T}(t) dt, \quad S_{6T}(t) = TS_6(t)u_T(t). \quad (7)$$

由加法器 2 的工作原理可知 $S_{8T}(t) = \left(\frac{1}{Q}\right)S_{6T}(t)$ 。由 (4) 式及 (5) 式，分频器工作过程可表示为

$$t_2^*(t) = \frac{a}{T} \int_0^t [S_{5T}(t) + S_{8T}(t)] dt. \quad (8)$$

通常选择 a 及 b 满足 $b = Aa$ 且 $a \ll 1$ 。综上所述，可画出二阶数字锁相环传递函数方块图(图 2)

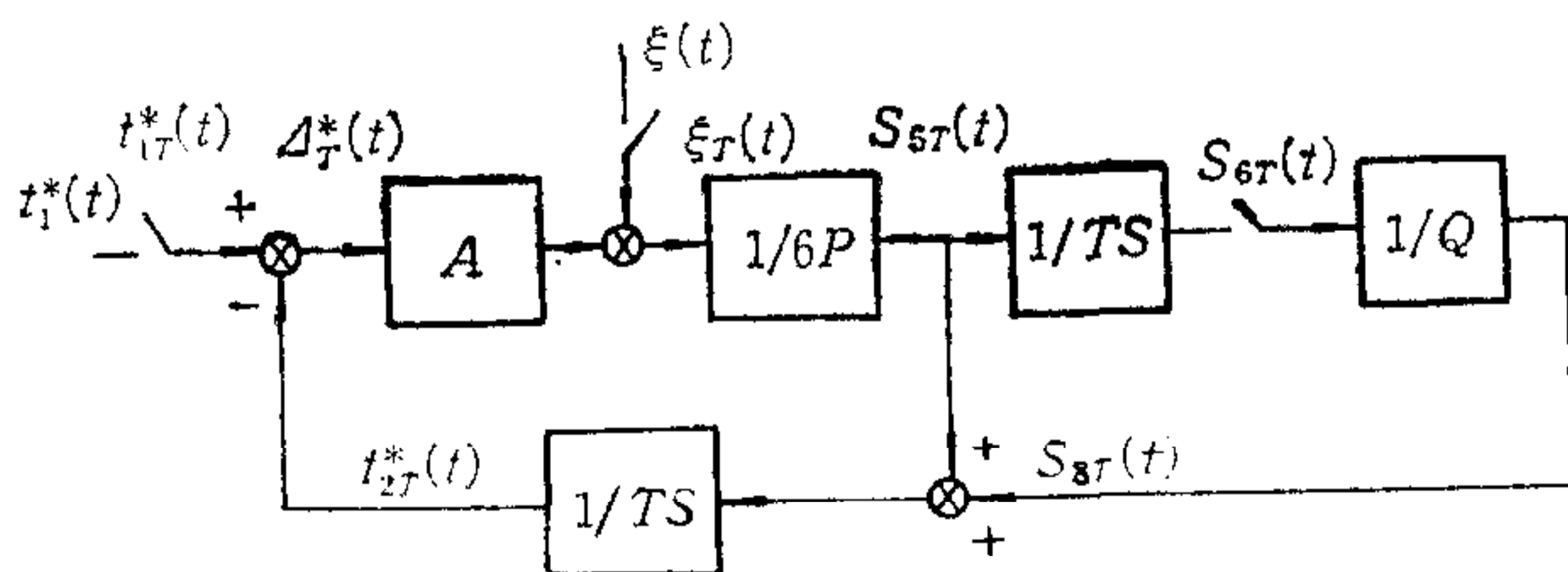


图 2 二阶数字锁相环传递函数方块图

Z 变换分析。对图 2 所示系统作 Z 变换，即 $Z\{t_{1T}^*(t)\} \triangleq t_{1T}^*(z)$, $Z\{\xi_T(t)\} \triangleq \xi_T(z)$, $Z\{\Delta_T^*(t)\} \triangleq \Delta_T^*(z)$ ，则锁相误差 $\Delta_T^*(z)$ 可表示为

$$\Delta_T^*(z) = W_t(z)t_{1T}^*(z) + W_\xi(z)\xi_T(z), \quad (9)$$

其中

$$W_t(z) = \frac{PQ(z-1)^2}{z^2(PQ+Q+1) - z(2PQ+Q) + PQ}, \quad (10)$$

$$W_\xi(z) = \frac{-A^{-1}[z^2(Q+1) - zQ]}{z^2(PQ+Q+1) - z(2PQ+Q) + PQ}. \quad (11)$$

可以算出误差系数为 $C_0 = C_1 = 0$, $C_2 = T^2PQ$. 由此可知它是二阶结构无静差系统.

锁相误差的功谱密度函数为 $S_{\Delta_\xi}^*(z) = W_\xi(z)W_\xi(z^{-1})S_{\xi T}(z)$, 于是由

$$\sigma_{\Delta^*}^2 = \frac{1}{2\pi j} \oint S_{\Delta_\xi}^*(z) z^{-1} dz \quad (12)$$

可以计算出锁相误差的均方差 $\sigma_{\Delta^*}^2$.

L 变换分析. 在某些无线电电子工程中^[1-4], 通常有 $\Delta f_i^* \ll f_T$ 且 $\Delta f_\xi \gg f_T$ 或 $\Delta f_\xi \ll f_T$, 其中 Δf_i^* 为信号 $i_1(t)$ 的通频带, $f_T = \frac{1}{T}$ 为采样频率. 这样一来, 图 2 所示的连续系统可以等效为图 3 所示连续系统.

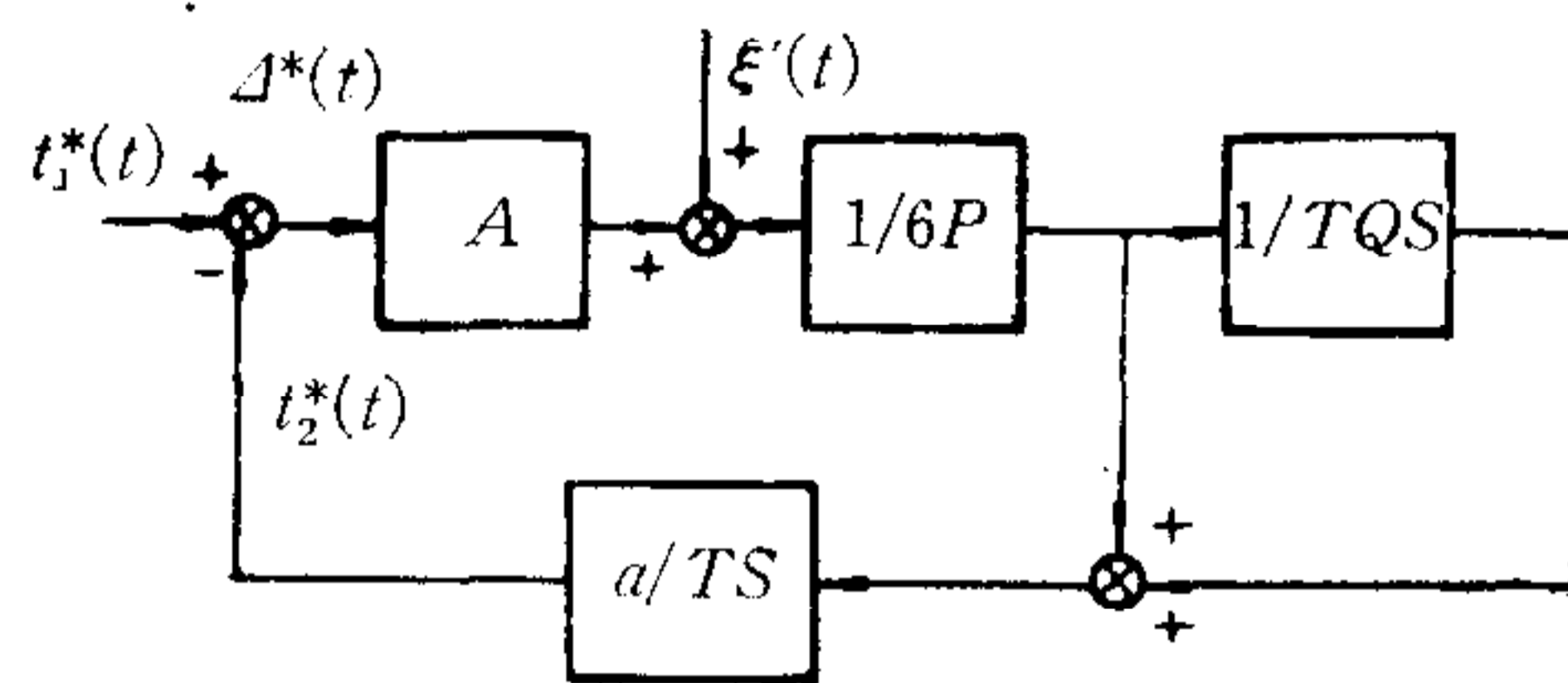


图 3 二阶数字锁相环等效连续系统方块图

等效噪声 $\xi'(t)$ 的功谱密度函数为

$$S_{\xi'}(\omega) = \begin{cases} S_\xi(0), & \Delta f_\xi \ll f_T, \quad |\omega| \ll \frac{\omega_T}{2}, \\ S_\xi(0)(\Delta f_\xi/f_T), & \Delta f_\xi \gg f_T, \quad |\omega| \ll \frac{\omega_T}{2}. \end{cases} \quad (13)$$

误差 $\Delta^*(t)$ 的 L 变换 $\Delta^*(s)$ 为

$$\Delta^*(s) = \frac{PQS^2}{PQS^2 + f_TQS + f_T^2} i_1^*(s) + \frac{f_TQS + f_T^2}{PQS^2 + f_TQS + f_T^2} \frac{\xi'(s)}{A}. \quad (14)$$

上述系统在平稳随机作用下的锁相方差为

$$\sigma_{\Delta^*}^2 = (f_T/4\Delta f_\xi(s/N)^2) \left(\frac{1}{P} + \frac{1}{Q} \right), \quad \Delta f_\xi \ll f_T, \quad (15)$$

$$\sigma_{\Delta^*}^2 = (1/4(s/N)^2) \left(\frac{1}{P} + \frac{1}{Q} \right), \quad \Delta f_\xi \gg f_T, \quad (16)$$

其中 f_T 为采样频率; Δf_ξ 为接收机有效噪声带宽; (s/N) 为锁相环输入信噪比; P, Q 为系统参数.

因为二阶数字锁相环的结构及参数, 是按输入信号 $i_1^*(t)$ 为速度阶跃时具有最小方差确定的^[5], 因此, 对速度量的分析十分重要. 由图 3 可计算出速度 $v(t)$ 的 L 变换及功谱密度函数 $S_v(\omega)$ 为

$$v(s) = \frac{S\hat{Q}A}{(\hat{P}\hat{Q}s^2 + \hat{Q}s + 1)b} S(s), \quad (17)$$

$$S_v(\omega) = \frac{(\hat{Q}/b)^2\omega^2}{\hat{P}^2\hat{Q}^2\omega^4 + (\hat{Q}^2 - 2\hat{P}\hat{Q})\omega^2 + 1} S_\xi'(\omega), \quad (18)$$

其中 $\hat{P} = TP$, $\hat{Q} = TQ$. 由 (18) 式可以证明, 速度量 $v(t)$ 的等效相关时间 τ_0 为

$$\tau_0 = (1/2R_v(0)) \int_{-\infty}^{+\infty} R_v(\tau) d\tau = 0, \quad (19)$$

其中 $R_v(\tau)$ 为速度量 $v(t)$ 的自相关函数.

三、速度估计及参数自校正

该系统需要估计的物理量是输入信号 $t_1^*(t)$ 的速度 $v(t)$, 为此取速度估计为 $\hat{v}(i) = \frac{1}{n_0} \sum_{j=1}^{n_0} v(ikn_0 + j)$, $i = 1, 2, \dots$, 其中 $K \geq 1$ 由系统工作条件所决定. 由 (19) 式可推出速度估计的均值为 $\hat{v}(i) = E\hat{v}(i) = (\hat{Q}(i)/a)\bar{v}_s(i)$, 其中 $\bar{v}_s(i)$ 为在区间 $(ikn_0T \leq t \leq ikn_0T + n_0T)$ 内的平均速度. 速度估计 $\hat{v}(i)$ 的均方差 $\sigma_{\hat{v}}(i)$ 为 $\sigma_{\hat{v}}(i) = (1/\sqrt{n_0P(i)})2a(s/N)_i$, 其信噪比为 $(s/N)_{\hat{v}}(i) = \hat{v}(i)/\sigma_{\hat{v}}(i) = \sqrt{n_0P(i)} \times 2(s/N)_i\hat{Q}(i)\bar{v}_s(i)$. 如果 $\bar{v}_s(i+1) \approx \bar{v}_s(i)$, 则速度估计增量的均值为 $\Delta\hat{v}(i+1) = (\hat{Q}(i+1)/a)\Delta\bar{v}_s(i+1)$. 为了判断速度是否发生变化, 可选阈值 n_0^* 为 $n_0^*(i+1) = 3\sigma_{\Delta\hat{v}}(i+1)$. 这样一来, 错误概率 P_c 为 $P_c = 0.1\%$, 按一次发现概率为 69% , 可以算出速度的最小分辨率 $\Delta\hat{v}(i+1)_{\min}$ 为 $\Delta\hat{v}(i+1)_{\min} = 3.5\sigma_{\Delta\hat{v}}(i+1)$.

完成以上的分析后, 采用如下判决: 若 $\Delta\hat{v}(i+1) < n_0^*(i+1)$, 表明信号速度未变化, 则取 $\hat{Q}(i+2) = \hat{Q}^{**}$, $\hat{P}(i+2) = \hat{P}^{**}$ 且 $v[(i+1)kn_0 + n_0 + 1] = (\hat{Q}^{**}/\hat{Q}(i+1))\hat{v}(i+1)$, 其中 \hat{Q}^{**} , \hat{P}^{**} 为系统的稳态参数. 若 $\Delta\hat{v}(i+1) \geq n_0^*(i+1)$, 表明信号速度发生变化, 并认为变化了 $n_0^*(i+1)$. 则 $\hat{Q}(i+2) = \hat{Q}^*$, $\hat{P}(i+2) = \hat{P}^*$ 且 $v[(i+1)kn_0 + n_0 + 1] = (\hat{Q}^*/\hat{Q}(i+1))[1.5\hat{v}(i+1) - 0.5\hat{v}(i)]$, 其中 \hat{P}^* , \hat{Q}^* 为按最优化准则计算出来的参数^[4]. 经实验研究, 初始参数取为 $P(0) = 64$, $Q(0) = 256$.

四、实验及仿真结果

首先考察上述系统在平稳噪声作用下的锁相精度. 当 $P = 64$, $Q = 256$, $f_T = 80$ 且 $\Delta f_\xi \gg f_T$ 时有表 1 所示结果.

再考察参数自校正的效果. 当 $P^{**} = 128$, $Q^{**} = 512$, $f_T = 80$, $\Delta f_\xi \gg f_T$, $a = 2\pi/100$, $n_0 = 120$, $(s/N) = 0.2$ 时, 系统处于速度跟踪状态, 且最大速度 $\bar{v}_s = 0.628$ 1/秒时, 有表 2 所示仿真结果. 应指出, 仿真是在载体做蛇形运动情况下进行的. 显见, 参数自校正提高了锁相精度.

表 1 锁相性能分析及实验结果

输入信噪比 (s/N)	1/1.2	1/3.6	1/5
L 变换分析	0.084	0.251	0.350
Z 变换分析	0.083	0.248	0.345
实验结果	0.081	0.230	0.330

表 2 锁相环参数自校正结果

输入信噪比 (s/N)	1	0.34	0.2
未加自校正精度	4.08	4.53	4.9
加入自校正精度	1.90	1.86	3.74

参 考 文 献

- [1] Reilly, R. A., The Minitype Loran-C Receiver and Indicator, *IEEE Trans. on AES*, AES-2(1966), No. 1.
- [2] Frank, R. L. and Phillips, A. H., The Microcircuit Digital Loran-C Receiver, *Electronics*, 37(1964), No. 5.
- [3] Watt, A. D., V. L. F. Radio Engineering, 343—378, 1967.
- [4] 赵希人, 一类非平稳随机序列的最优滤波及预测, 自动化学报, 增刊第 1 期, 1985.

PARAMATER SELF-TUNING OF 2-ORDER DIGITAL PHASE-LOCKED LOOP

ZHAO XIREN

(Harbin Shipbuilding Engineering Institute)

ABSTRACT

In this paper, physical structure of the 2-order digital phase-locked loop applied to electronic engineering is studied, and its performance is analysed in detail. The method of parameter self-tuning is applied to digital phase-locked loop successfully. Experimental and simulation results are also given.